

## بایوستراتیگرافی مرز ائوسن- الیگوسن (Priabonian- Rupelian) در برش چینه‌شناسی چهارده (زون ایذه، خوزستان)

نسرین هداوندخانی<sup>۱\*</sup>، عباس صادقی<sup>۲</sup>، علیرضا طهماسبی سروستانی<sup>۳</sup>، محمد حسین آدابی<sup>۴</sup>

- ۱- دانشجوی دکتری زمین شناسی، دانشکده علوم زمین، دانشگاه شهید بهشتی
- ۲- دانشیار گروه زمین شناسی، دانشکده علوم زمین، دانشگاه شهید بهشتی
- ۳- رئیس اداره مطالعات و تحقیقات زمین شناسی و ژئوشیمی، مدیریت اکتشاف نفت
- ۴- استاد گروه زمین شناسی، دانشکده علوم زمین، دانشگاه شهید بهشتی

پذیرش مقاله: ۱۳۹۲/۹/۸

تأیید نهایی مقاله: ۱۳۹۳/۴/۲۱

چکیده

به منظور مطالعه مرز ائوسن - الیگوسن در زون ایذه، ۱۷۰ متر از رسوبات سازند پابده (واحد مارن با میان لایه‌های سنگ آهک) در برش چهارده مورد نمونه برداری قرار گرفت. بر اساس مطالعه فرامینیفرهای پلانکتونی<sup>۵</sup> بایوزون زیر در رسوبات مذکور شناسایی و معرفی گردید:

Zone E14: *Globigerinatheka semiinvoluta* Highest-occurrence Zone

Zone E15: *Globigerinatheka index* Highest-occurrence Zone

Zone E16: *Hantkenina alabamensis* Highest-occurrence Zone

Zone O1. *Pseudohastigerina naguwichiensis* Highest-occurrence Zone

Zone O2. *Turborotalia ampliapertura* Highest-occurrence Zone

مرز ائوسن - الیگوسن در این برش بر مبنای بایوزون‌های فوق و تغییر در فرامینیفرهای پلانکتونی به خصوص انقراض خانواده Hantkeninidae در ۴۷۱ متری از قاعده سازند پابده و ۳۲۶ متر پایین‌تر از مرز پابده - آسماری قرار دارد. همچنین در این مطالعه زون‌های زیستی شناسایی شده، با زون‌های فرامینیفرهای پلانکتونی در مرز ائوسن- الیگوسن دیگر مناطق تطبیق مقایسه گردید.

واژه‌های کلیدی: ایذه، بایوستراتیگرافی، خوزستان، مرز ائوسن - الیگوسن.

در استراتوتایپ روپلین ایجاد شده است (وید و همکاران، ۲۰۱۱؛ برگرن و همکاران، ۲۰۰۵). GSSP روپلین و سری اليگومن در برش Massignano در ساحل آدریاتیک شمال ایتالیا تعریف شده است. GSSP در یک معدن متروکه در سمت شرقی جاده Ancona-Sirolo نزدیک Massignano معین شده است. برش Massignano در برگیرنده‌ی یک توالی ۲۳ متری از مارن‌های دریایی باز و مارن‌های آهکی ائوسن بالایی تا اليگومن زیرین می‌باشد. GSSP در قاعده یک لایه مارنی خاکستری سبز رنگ با ضخامت ۰/۵ متری، در ۱۹ متری بالاتر از قاعده برش تعریف شده است (شکل ۱).

مارکر شاخص GSSP این مرز، انقراض گونه‌های Hantkeninid است که در رأس زون E16 و در داخل زون نانوفسیلی NP21 واقع شده است. در این مقاله سعی بر آن است تا مرز ائوسن-اليگومن (Priabonian- Rupelian) در برش چينه‌شناسی چهاردهم واقع در زون ایده بر اساس زون‌های فرامینیفرهای پلانکتونی معرفی شده در محدوده تنتیس مورد مطالعه و مقایسه قرار گیرد.

### مواد و روش‌ها

#### موقعیت جغرافیایی برش مورد مطالعه

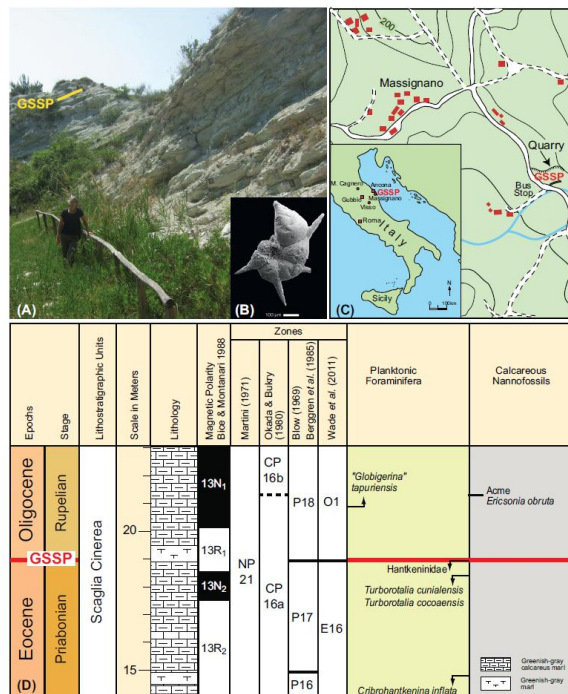
نمونه‌های مورد مطالعه از برش چهاردهم در نزدیکی روستایی به همین نام در شهر ایده برداشت شده است. این برش دارای مختصات جغرافیایی " ۲۶.۸<sup>۰</sup> ۵۰.۳<sup>'</sup> طول شرقی و ۴۷'۵۳.۶<sup>"</sup> عرض شمالی می‌باشد و راه دسترسی به آن از طریق جاده ایده به اصفهان امکان‌پذیر است. این برش در نزدیکی سد کارون ۳ و یک کیلومتری روستای چهاردهم واقع شده است (شکل ۲).

### مقدمه

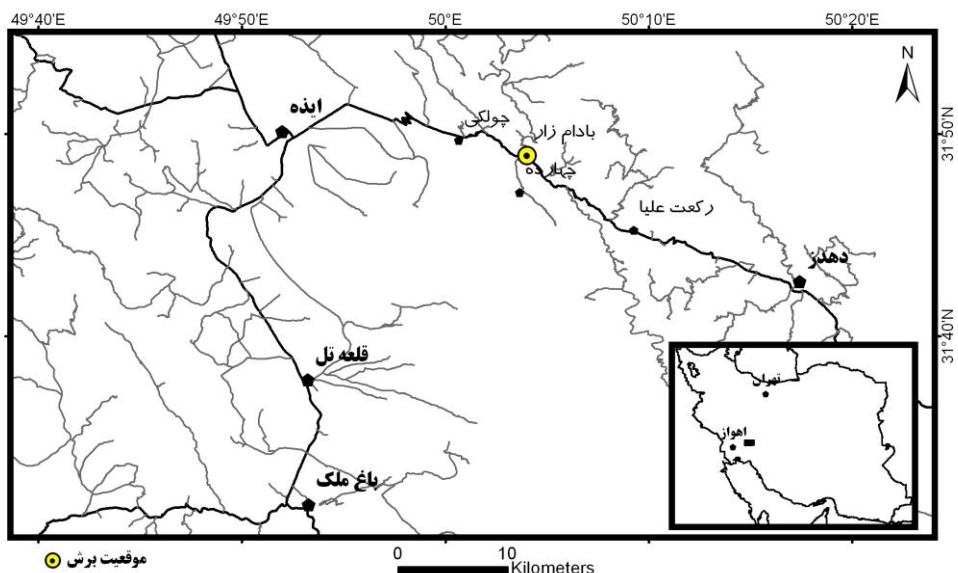
تعیین اشکوب‌های اليگومن اولین بار توسط بیریچ در سال ۱۸۵۴ انجام شد، ولی ماهیت اليگومن یا ائوسن بودن آن‌ها به طور دقیق مشخص نبود و با گذشت زمان این اشکوب‌ها منسخ شده و سپس یک آرایش کرونوستراتیگرافی واقعی و استاندارد از اليگومن در دو اشکوب توسط هاردنبل و برگرن در سال ۱۹۷۸ ارائه شد. آن‌ها دو واحد لیتوژوئیکی قابل تشخیص در استراتوتایپ سنتی اليگومن در شمال غرب اروپا تعیین کردند:

- ۱) واحد روسی پایینی متعلق به دریایی باز که دربرگیرنده رسوبات ناحیه تیپ روپلین است.
- ۲) واحد ماسه‌ای بالایی عمدتاً متعلق به دریایی کم عمق که شامل مقطع تیپ شاتین است.

این پیشنهاد تا به امروز مورد استفاده قرار گرفته و در IGC واشنگتن در سال ۱۹۸۹ به صورت رسمی درآمد (جنکینز و لوتباخر، ۱۹۹۲). مرز ائوسن - اليگومن در قاعده اشکوب روپلین تعریف شده است. این اشکوب توسط دومونت در سال ۱۸۴۹ برای نهشته‌های روسی رخمنون یافته در امتداد رودخانه‌های Scheldt و Rupel در بلژیک معرفی شد. این نهشته‌های روسی، روپلین بالایی را تشکیل داده در حالی که بخش پایینی روپلین از نهشته‌های روسی، شبیه رسوبات Nucula Omta، بین دو واحد ماسه‌ای که دارای برونزدی در شمال شرق بلژیک است، تشکیل یافته است. گروه‌های ماکرو و میکروفسیلی متعددی در منطقه تیپ مطالعه شده‌اند (ون سیمازی و واندنبرگ، ۲۰۰۶). زون‌های فرامینیفرهای پلانکتونی O1 تا O4 و زون‌های نانوپلانکتونی NP23 و NP24 در این نهشته‌های روسی مشاهده شده و یک زوناسیونی از فرامینیفرهای بنتیک و سیست داینوفلازله‌ها نیز



تصویر ۱: اشکوب روپلین واقع شده در بخش Massignano استان Ancona در ایتالیا بر روی زمین (A) و نقشه (C) (گریداستین و همکاران، ۲۰۱۲)، تصویر (B) و داده‌های چینه شناسی (D) (پرمولی سیلو و جنکینز، ۱۹۹۳).



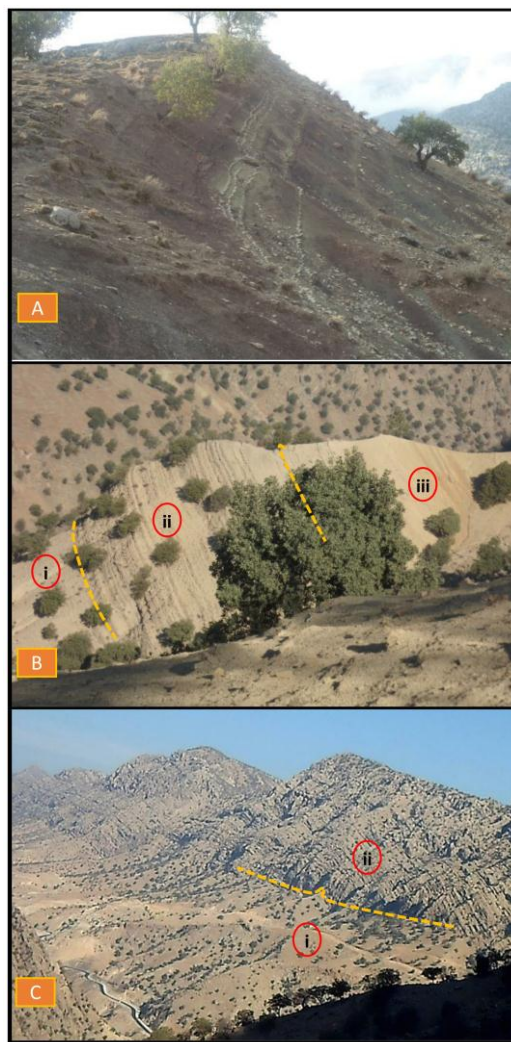
تصویر ۲: موقعیت و راه دسترسی رخنمون مورد مطالعه

سازند پابده در برش چهارده به ضخامت ۷۹۷ متر (۱۳۹۳). به منظور مطالعه مرز ائوسن-الیگوسن در برش مورد مطالعه، ۱۷۰ متر از واحد مارن با میان لایه‌های سنگ آهک (۱۵۶ عدد نمونه) به ضخامت ۳۵۷.۶ متر مورد نمونه برداری سیستماتیک قرار گرفت. مرز زیرین این واحد با واحد آهکی و مرز

به ۴ واحد شیل ارغوانی (شکل ۳A)، واحد آهک و مارن (۵ در تصویر ۳B)، واحد آهکی (۶ در تصویر ۳B)، واحد مارن با میان لایه‌های سنگ آهک (۷ در شکل ۳B) تقسیم شده است (هداوندخانی،

گرفت و پس از شناسایی فرامينيفرهای پلانكتونی به کمک ميكروسكوب الکتروني (SEM) از آنها عکسبرداری به عمل آمد. از نمونه‌های سخت مقطع نازک تهيه شد و در زير ميكروسكوب پلاريزان مطالعه و سپس عکسبرداری انجام شد.

بالايی آن با سازند آسماري (شکل ۳C) هم شبیه باشد. نمونه‌برداری در فواصل نيم متري تا ۱ متري صورت گرفت. نمونه‌ها جهت آماده‌سازی به آزمایشگاه منتقل شد. نمونه‌های نرم بر روی الک-های ۷۰، ۱۲۰ و ۲۳۰ گل‌شوبي و سپس در زير ميكروسكوب انعکاسي دوچشمی مورد مطالعه قرار



تصویر ۳: (A) واحد شيل ارغوانی در سازند پابده، (B) واحد آهک و مارن (i)، واحد آهکی (ii)، واحد مارن با ميان لايه های سنگ آهک (iii)، (E) مرز واحد مارن با ميان لايه های سنگ آهک پابده (i) با سازند آسماري (ii)

گونه باقی مانده خانواده Hantkeninidae همراه بوده است. همچنان در نزديکی اين مرز انقراض Turborotalia cerroazulensis گونه‌های Turborotalia cocoaensis و Turborotalia cunialensis ثبت شده است. از تغييرات ديگر در

## نتایج

### بايوستراتيگرافی

در مرز ائوسن-اليگومن يکی از انقراض‌های اصلی در تاريخ فرامينيفرهای پلانكتونی اتفاق افتاده است، به طوری‌که اين مرز با انقراض ناگهانی ۵

در این مطالعه پس از شناسایی فرامینیفرهای پلانکتونی و ترسیم محدوده چینه شناسی آن‌ها (شکل ۴)، زون بندی زیستی فرامینیفرهای پلانکتونی و تعاریف آن (شکل ۵) براساس جدیدترین داده‌ها نظیر برگرن و همکاران در سال ۲۰۰۵ و وید و همکاران در سال ۲۰۱۱، در محدوده مرز ائوسن-الیگوسن صورت گرفت و ۵ بازوزن به شرح زیر شناسایی و معرفی گردید:

#### **Zone E14. *Globigerinatheka semiinvoluta* Highest-occurrence Zone**

تعريف: اینتروالی است بین آخرین ظهور *Morozovelloides crassatus* در پایین و آخرین ظهور *Globigerinatheka semiinvoluta* در بالا. این زون مطابق با زون زیستی E14 از زون‌بندی زیستی برگرن و همکاران در سال ۲۰۰۵ و وید و همکاران در سال ۲۰۱۱ است. ضخامت این زون در برش چهارده ۳۸.۷۵ متر می‌باشد که قاعده آن در ستون چینه شناسی رسم شده در این برش آورده نشده است. فرامینیفرهای همراه آن عبارتند از:

*Turborotalia cerroazulensis*,  
*Pseudohastigerina micra*, *Globigerinatheka korotkovi*, *Turborotalia increbescens*,  
*Hantkenina alabamensis* *Globigerinatheka index*, *Clavigerinella* sp., *Paragloborotalia nana*, *Catapsydrax dissimilis*,  
*Globigerinatheka semiinvoluta*,  
*Turborotalia pomeroli*, *Catapsydrax unicavus*, *Hantkenina compressa*, Genus 2. sp.1, *Dentoglobigerina galavisi*, *Subbotina yeguaensis*, *Zeauvigerina zelandica*,  
*Turborotalia altispiroites*,  
*Dentoglobigerina tripartita*.

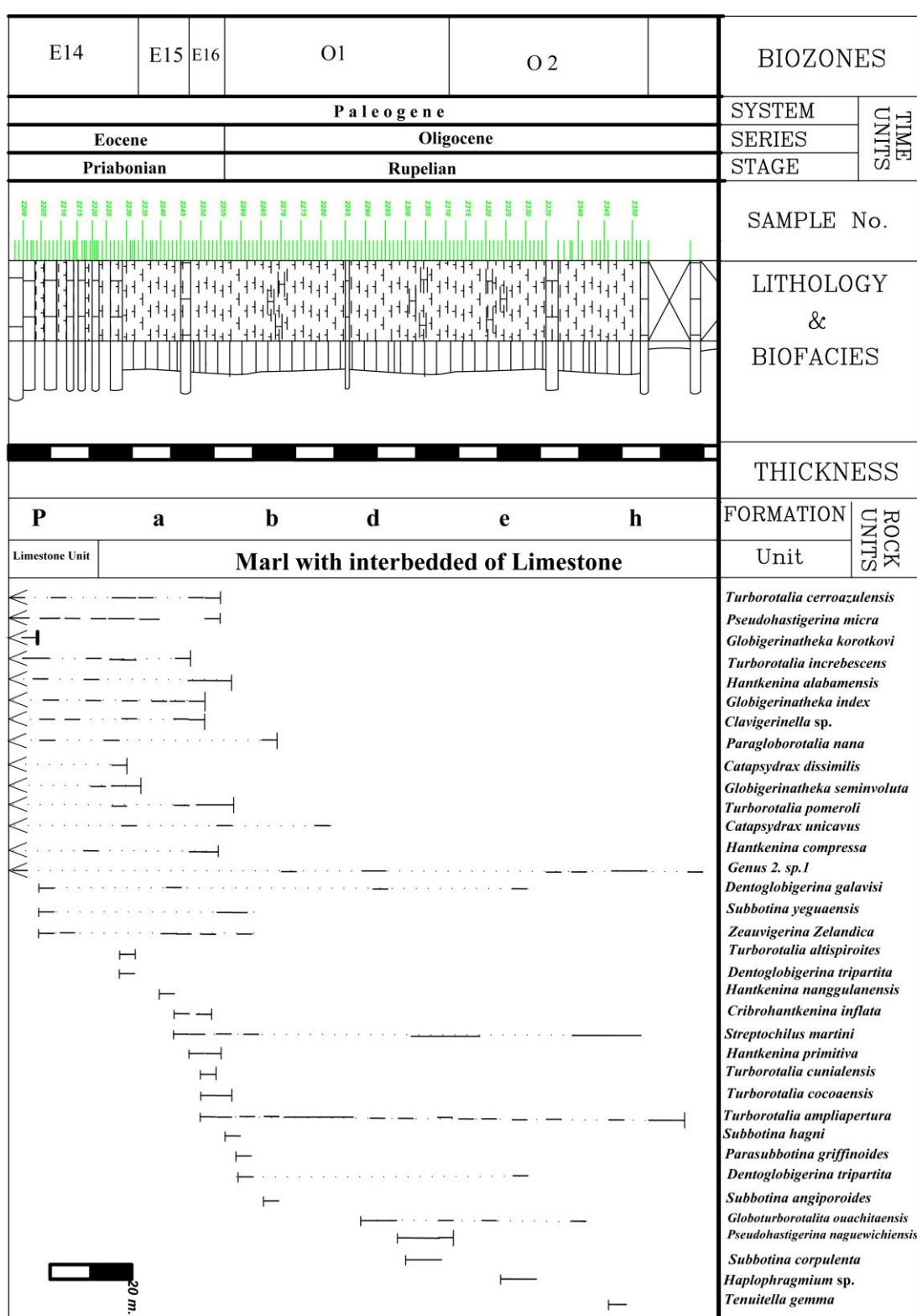
سن: ائوسن میانی – پسین (بارتونین - پریابونین)

فرامینیفرهای پلانکتونی در این مرز می‌توان به انقراض *Pseudohastigerina micra* با اندازه بزرگتر از  $150 \mu\text{m}$  نیز اشاره کرد و فقط گونه *Pseudohastigerina naguewichiensis* کوچکتر بعد از مرز باقی مانده است. این حوادث زیستی، منطبق با حد بالایی زون E16 (بین دو زون E16 و O1) از زوناسیون فرامینیفرهای پلانکتونی وید و همکاران در سال ۲۰۱۱ و نیز برگرن و همکاران در سال ۲۰۰۵ و بین دو زون زیستی P17 و P18 از زون‌بندی برگرن و همکاران در سال ۱۹۹۵ می‌باشد. سن رادیومتریک این مرز ۳۴ میلیون سال است.

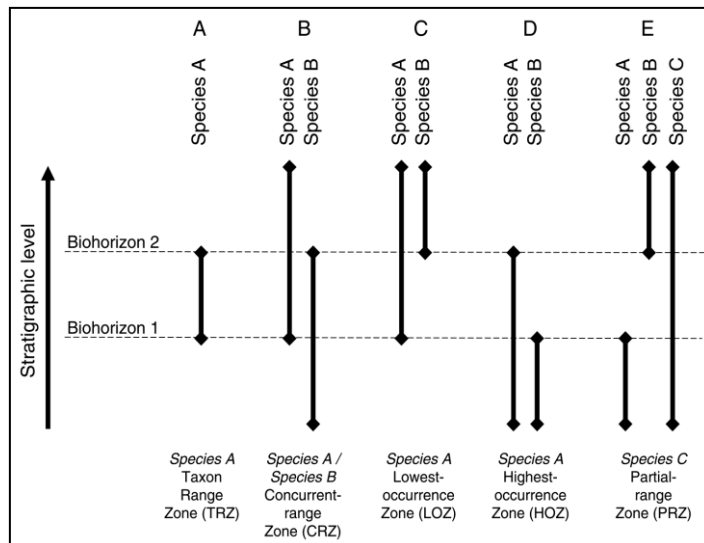
دلیل اصلی این انقراض را تغییر تدریجی از اقلیم گرم در ائوسن پیشین به اقلیم یخچالی و سرد در ابتدای الیگوسن می‌دانند که یکی از مهم‌ترین تغییرات اقلیمی در تکامل دوران سنتز ویک محسوب می‌شود (زاچوس و همکاران، ۲۰۰۱؛ تریپاتی و همکاران، ۲۰۰۵).

دلیل سردشدنی در این مرز بسیار بحث برانگیز بوده است. لیورمور و همکاران در سال ۲۰۰۵ علت این سرد شدگی را بازشدنی گذرگاه Drake و ایجاد جریاناتی از قطب شمال می‌دانند. محققان دیگر این عامل را به تنها یی موثر نمی‌دانند و کاهش شدید  $\text{CO}_2$  اتمسفر را دلیل سردشدن تدریجی می‌دانند (دیکوتتو و پلارد، ۲۰۰۳؛ هابر و همکاران، ۲۰۰۴؛ تریپاتی و همکاران، ۲۰۰۵).

ونهوف و همکاران در سال ۲۰۰۰، دلیل سردشدنی را برخوردهای متئوریت در ۳۵.۵ Ma و بیش از یک میلیون سال زودتر می‌دانستند، ولی داده‌های ایزوتوپی این مورد را تأیید نمی‌کنند (تریپاتی و همکاران، ۲۰۰۵).



شكل ۴: انتشار چینه شناسی فرامینیفرهای پلانکتونی در برش چینه شناسی چهاردهه در مرز ائوسن-اليگومن



(Berggren & Pearson(2005) تصویر ۵: تعاریف زون‌های بایوسтратیگرافی استفاده شده در این مطالعه اقتباس از

تعریف: بخشی از انتشار چینه شناسی گونه نامبرده که بین آخرین ظهر *Globigerinatheka* در پایین و آخرین ظهر *Hantkenina index* در بالا قرار می‌گیرد.  
 این زون مطابق با زون زیستی E16 از زون‌بندی زیستی برگن و همکاران در سال ۲۰۰۵ و وید و همکاران در سال ۲۰۱۱ است. ضخامت این زون زیستی در برش چهارده ۹ متر تعیین شده‌است و مهم‌ترین میکروفسیل‌های همراه در این زون عبارتند از:

*Turborotalia cerroazulensis*,  
*Pseudohastigerina micra*, *Turborotalia increbescens*, *Hantkenina alabamensis*  
*Globigerinatheka index*, *Clavigerinella* sp.,  
*Paragloborotalia nana*, *Turborotalia pomeroli*, *Catapsydrax unicavus*,  
*Hantkenina compressa*, Genus 2. sp.1,  
*Subbotina yeguaensis*, *Dentoglobigerina galavisi*,  
*Cribrohantkenina inflata*,  
*Streptochilus martini*, *Hantkenina primitive*, *Zeauvigerina zelandica*,  
*Turborotalia cunialensis*, *Turborotalia cocoaensis*, *Turborotalia ampliapertura*

سن: اوسن پسین (پریابونین)  
 در انتهای این زون زیستی انقراض خانواده Hantkeninidae

#### Zone E15. *Globigerinatheka index* **Highest-occurrence Zone**

تعریف: اینتروالی است بین آخرین ظهر *Globigerinatheka semiinvoluta* در پایین و آخرین ظهر *Globigerinatheka index* در بالا. این زون مطابق با زون زیستی E15 از زون‌بندی زیستی برگن و همکاران در سال ۲۰۰۵ و وید و همکاران در سال ۲۰۱۱ است. این زون با ضخامت ۱۲.۵ متر بر روی زون E14 قرار دارد و حاوی فرامینیفرهای پلانکتونی زیر می‌باشد:

*Turborotalia cerroazulensis*,  
*Pseudohastigerina micra*, *Turborotalia increbescens*, *Hantkenina alabamensis*  
*Globigerinatheka index*, *Clavigerinella* sp.,  
*Paragloborotalia nana*, *Turborotalia pomeroli*, *Catapsydrax unicavus*,  
*Hantkenina compressa*, Genus 2. sp.1,  
*Dentoglobigerina galavisi*, *Subbotina yeguaensis*, *Zeauvigerina zelandica*,  
*Hantkenina nanggulanensis*,  
*Cribrohantkenina inflata*, *Streptochilus martini*

سن: اوسن پسین (پریابونین)

#### Zone E16. *Hantkenina alabamensis* **Highest-occurrence Zone**

تعريف: اينتروالی است بين آخرین ظهور *Pseudohastigerina naguewichiensis* و آخرین ظهور *Turborotalia ampliapertura* در بالا. ضخامت اين زون در برش مورد مطالعه ۴۹.۵ متر است و با فسیلهای همراه زیر شناسایی می‌شود:

*Genus 2. sp.1, Dentoglobigerina galavisi, Turborotalia ampliapertura, Streptochilus martini, Dentoglobigerina tripartita, Globoturborotalita ouachitaensis, Haplophragmium sp., Tenuitella gemma*

سن: اليگومن پیشین (روپلین)  
همانطور که ملاحظه می‌شود، مرز ائوسن-اليگومن در این مطالعه مطابق با زون‌های زیستی معتبر در حوضه تتیس، در حدفاصل زون‌های E16 با سن ائوسن پسین (Priabonian) و O1 با سن اليگومن پیشین (Rupelian) در سازند پابده واحد مارن با میان لایه‌های سنگ آهک) و ۳۲۶ متر پایین تر از مرز سازندهای پابده و آسماری قرار دارد.

زون‌های زیستی شناسایی شده در محدوده مرز ائوسن - اليگومن در این برش قابل مقایسه با دیگر زون‌بندی‌های زیستی در حوضه تتیس می‌باشد که در شکل ۶ نشان داده شده‌است.

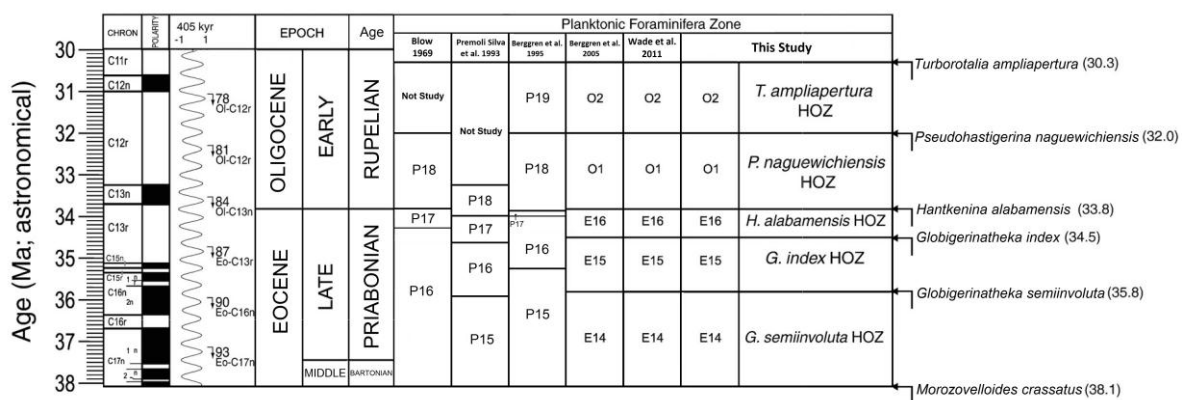
Turborotalia به غیر از *T. ampliapertura* داده است که تعیین کننده مرز ائوسن - اليگومن است.

### Zone O1. *Pseudohastigerina naguewichiensis* Highest-occurrence Zone

تعريف: اينتروالی است بين آخرین ظهور *Hantkenina alabamensis* و آخرین ظهور *Pseudohastigerina naguewichiensis* در بالا. اين زون مطابق با زون زیستی O1 از زون-بندی زیستی برگن و همکاران در سال ۲۰۰۵ و وید و همکاران در سال ۲۰۱۱ است. اين زون زیستی با ضخامت ۵۶ متر و فسیلهای زیر در برش چهارده قابل تفکیک است:

*Paragloborotalia nana, Catapsydrax unicavus, Genus 2. sp.1, Dentoglobigerina galavisi, Subbotina yeguaensis, Zeauvigerina zelandica, Turborotalia ampliapertura, Streptochilus martini, Subbotina hagni, Parasubbotina griffinoides, Dentoglobigerina tripartita, Subbotina angiporoidea, Globoturborotalita ouachitaensis, Pseudohastigerina naguewichiensis, Subbotina corpulenta*

سن: اليگومن پیشین (روپلین)  
Zone O2. *Turborotalia ampliapertura* Highest-occurrence Zone



شکل ۶: چارت تطبیقی زون‌بندی زیستی مرز ائوسن-اليگومن در برش چینه‌شناسی چهارده با دیگر زون‌بندی‌های زیستی در حوضه تتیس

پیشین است. بر اساس زون‌های زیستی فوق، مرز ائوسن- الیگومن در حدفاصل دو زون زیستی O1 و E16 در سازند پابده (واحد مارن با میان لایه‌های سنگ آهک) و ۴۷۱ متری از قاعده آن و ۳۲۶ متر پایین تر از مرز سازندهای پابده و آسماری تعیین شده است.

در این مرز انقراض ناگهانی خانواده Hantkeninidae و انقراض گونه‌های *Turborotalia cerroazulensis* و *Turborotalia cunialensis* و *cocoaensis* نظیر دیگر مناطق حوضه تیس مشهود است که این انقراض را عده‌ای به سرد شدگی در ابتدای الیگومن نسبت داده‌اند (زاچوس و همکاران، ۲۰۰۱؛ تریپاتی و همکاران، ۲۰۰۵).

رساله دکترای، دانشگاه شهید بهشتی.

- Berggren, W. A. and Pearson, P. N., 2005. A revised tropical to subtropical Paleogene planktonic foraminiferal zonation. Journal of Foraminiferal Research, v. 35, p. 279-298.
- Berggren, W. A. and Miller, K. G., 1988. Paleogene tropical planktonic foraminiferal biostratigraphy and magnetobiochronology, *Micropaleontology*, v. 34, p. 362-380.
- Berggren, W. A., Kent, D. V., Swisher III, C. C., and Aubry, M. -P., 1995. A revised Cenozoic geochronology and chronostratigraphy, In: Berggren, W.A., Kent, D.V., Aubry, M.-P., Hardenbol, J. (Eds.), Geochronology, Time Scales and Global Stratigraphic Correlation: A Unified Temporal Framework for an Historical Geology: SEPM Spec. Publ., v. 54, p. 129-212.

## بحث و نتیجه‌گیری

در بررسی مرز ائوسن - الیگومن در برش چهارده برا اساس فرامینیفرهای پلانکتونی، ۵ بایوزون زیر منطبق با زونبندی زیستی وید و همکاران در سال ۲۰۱۱ در محدوده تیس شناسایی و معرفی گردید:

**Zone E14:** *Globigerinatheka semiinvoluta*  
Highest-occurrence Zone

**Zone E15:** *Globigerinatheka index*

Highest-occurrence Zone

**Zone E16:** *Hantkenina alabamensis*

Highest-occurrence Zone

**Zone O1:** *Pseudohastigerina*

*naguewichiensis* Highest-occurrence Zone

**Zone O2:** *Turborotalia ampliapertura*

Highest-occurrence Zone

بایوزون‌های E14، E15، E16 متعلق به ائوسن پسین و زون‌های O1 و O2 متعلق به الیگومن

## منابع

- هداوندخانی، ن.، ۱۳۹۲، بایوستراتیگرافی سازند پابده در زون ایده (برش‌های چهارده، تنگ حتی و تنگ پابده)،

-Beyrich, E., 1854. Über die Stellung der hessischen Tertiabilddungen, Berichte der Verhandlungen der koniglichen. Preussischen Akademie der Wissenschaften, Akademie der Wissenschaften zu Berlin, p. 640-666.

- Dumont, A., 1849. Rapport sur la carte géologique de la Belgique, Bulletin de l'Academie royale des Sciences et des Lettres de la Belgique, v. 16, p. 351-373.

-DeConto, R.M. and Pollard, D., 2003. Rapid Cenozoic glaciation of Antarctica induced by declining atmospheric CO<sub>2</sub>, *Nature*, v. 421, p. 245-249.

- Gradstein, F.M. and Ogg, J.G., 2012. The Concise Geologic Time Scale, Cambridge University Press, Cambridge, 1140 p.

-Hardenbol, J. and Berggren, W.A., 1978. A new Paleogene numerical time scale,

- In: Cohee, G.V., Glaessner, M.F., Hedberg, H.D. (Eds.), Contributions to the Geologic Time Scale, American Association of Petroleum Geologists Studies in Geology, v. 6, p. 213-234.
- Huber, M., Brinkhuis, H., Stickley, D.E., Doos, K., Sluijs, A., Warnaar, J., Schellenberg, S.A. and Williams, G.L., 2004. Eocene circulation of the Southern Ocean: was Antarctica kept warm by subtropical waters? *Paleoceanography*, v. 19, p. 26-40.
- James, G.A. and J.G. Wynd 1965. Stratigraphic nomenclature of Iranian oil consortium agreement area, American Association of Petroleum Geologists Bulletin, v. 49, p. 2182-2245.
- Jenkins, D.G. and Luterbacher, H.P., 1992. Paleogene stages and their boundaries: Introductory remarks, *Neues Jahrbuch für Geologie und Palaontologie Abhandlungen*, v. 186, p.1-5.
- Livermore, R., Nankivell, A., Eagles, G. and Morris, P., 2005. Paleogene opening of the Drake Passage, *Earth and Planetary Science Letters*, v. 236, p. 459- 470.
- Molina, E., Gonzalvo, C., Ortiz, S. and Cruz, L., 2006, Foraminiferal turnover across the Eocene–Oligocene transition at Fuente Caldera, southern Spain: No cause–effect relationship between meteorite impacts and extinctions, *Marine micropaleontology*, v. 58, p. 270-286.
- Ogg, J.G., Ogg, G. and Gradstein, F.M., 2008. The Concise Geologic Time Scale, Cambridge University Press, Cambridge, 177 p.
- Pearson, P.N., Olsson, R.K., Huber, B.T., Hemleben, C. and Berggren, W.A.(Eds.), 2006. *Atlas of Eocene Planktonic Foraminifera*, Cushman Foundation for Foraminiferal Research, Fredericksburg, 514 p.
- Premoli Silva, I. Spezzaferi. S. and D Angelantonio A., 1998. Cretaceous foraminiferal bio-isotope stratigraphy of Hole 967E and Paleogene planktonic foraminiferal biostratigraphy of Hole 966E, Eastern Mediterranean, Robertson, A, H, F., Emeis, K.C., Richter, C., and Camerlenghi, A. (Eds) *Proceedings of Ocean Drilling program, Scientific Result*, v. 160, p. 377-394.
- Premoli Silva, I. and Jenkins, D.G., 1993. Decision on the Eocene-Oligocene boundary stratotype, *Episodes*, v. 16, p. 379-382.
- Tripati, A., Backman, J., Elderfield, H. and Ferretti, P., 2005. Eocene bipolar glaciation associated with global carbon cycle changes, *Nature*, v. 436, p. 341-346.
- Van Simaeys, S. and Vandenberghe, N., 2006. Rupelian. *Geologica Belgica*, v. 9, p. 95-101.
- Vonhof, H.B., Smit, J., Brinkhuis, H., Montanari, A. and Nederbragt, A.J., 2000. Global cooling accelerated by early late Eocene impacts, *Geology*, v. 28, p. 687-690.
- Wade, B.S., 2011. Review and revision of Cenozoic tropical planktonic foraminiferal biostratigraphy and calibration to the geomagnetic polarity and astronomical time scale, *Earth-Science Reviews*, v. 104, p. 111-142.
- Zachos, J., Pagani, M., Sloan, L., Thomas, E. and Billups, K., 2001. Trends, rhythms, and aberrations in global climate 65 Ma to present, *Science*, v. 292, p. 686-693.

### Plate 1

- |                                                |                                   |
|------------------------------------------------|-----------------------------------|
| Figs 1a- c: <i>Turborotalia altispiroides</i>  | scale bar: 200 µm, SampleNo: 2229 |
| Figs 2a- c: <i>Turborotalia cerroazulensis</i> | scale bar: 100 µm, SampleNo: 2146 |
| Figs 3a- c: <i>Turborotalia cocoaensis</i>     | scale bar: 100 µm, SampleNo: 2254 |
| Figs 4a- c: <i>Turborotalia cunialensis</i>    | scale bar: 200 µm, SampleNo: 2250 |
| Figs 5a- c: <i>Turborotalia increbescens</i>   | scale bar: 100 µm, SampleNo: 2259 |
| Figs 6a- c: <i>Turborotalia pomeroli</i>       | scale bar: 200 µm, SampleNo: 2243 |
| Figs 7a- b: <i>Zeauvigerina zelandica</i>      | scale bar: 200 µm, SampleNo: 2259 |

### Plate 2

- |                                              |                                   |
|----------------------------------------------|-----------------------------------|
| Figs 1a- c: <i>Hantkenina alabamensis</i>    | scale bar: 200 µm, SampleNo: 2254 |
| Figs 2a- c: <i>Hantkenina compressa</i>      | scale bar: 200 µm, SampleNo: 2254 |
| Figs 3a- c: <i>Hantkenina nanggulanensis</i> | scale bar: 200 µm, SampleNo: 2240 |
| Figs 4a- c: <i>Hantkenina primitiva</i>      | scale bar: 200 µm, SampleNo: 2254 |
| Figs 5a- c: <i>Cribrohantkenina inflata</i>  | scale bar: 200 µm, SampleNo: 2243 |
| Figs 6a- c: <i>Subbotina yeguaensis</i>      | scale bar: 100 µm, SampleNo: 2259 |
| Figs 7a- b: <i>Streptochilus martini</i>     | scale bar: 100 µm, SampleNo: 2243 |

### Plate 3

- |                                                 |                                   |
|-------------------------------------------------|-----------------------------------|
| Figs 1a- c: <i>Globigerinatheka index</i>       | scale bar: 100 µm, SampleNo: 2146 |
| Figs 2a- c: <i>Globigerinatheka korotkovi</i>   | scale bar: 100 µm, SampleNo: 2081 |
| Figs 3a- c: <i>Globigerinatheka seminvoluta</i> | scale bar: 100 µm, SampleNo: 2240 |
| Figs 4a- c: <i>Dentoglobigerina tripartita</i>  | scale bar: 100 µm, SampleNo: 2259 |
| Figs 5a- c: <i>Dentoglobigerina galavisi</i>    | scale bar: 100 µm, SampleNo: 2205 |
| Figs 6a- c: <i>Catapsydrax dissimilis</i>       | scale bar: 100 µm, SampleNo: 2145 |
| Figs 7a- c: <i>Catapsydrax unicavus</i>         | scale bar: 100 µm, SampleNo: 2229 |

### Plate 4

- |                                                    |                                   |
|----------------------------------------------------|-----------------------------------|
| Figs 1a- d: <i>Globoturborotalia ouachitaensis</i> | scale bar: 100 µm, SampleNo: 2115 |
| Figs 2a- d: <i>Turborotalia ampliapertura</i>      | scale bar: 100 µm, SampleNo: 2327 |
| Figs 3a- c: <i>Tenuitella gemma</i>                | scale bar: 100 µm, SampleNo: 2320 |
| Fig 4: <i>Paragloborotalia nana</i>                | scale bar: 100 µm, SampleNo: 2320 |
| Fig 5: <i>Turborotalia cerroazulensis</i>          | scale bar: 100 µm, SampleNo: 2194 |
| Fig 6: <i>Turborotalia pomeroli</i>                | scale bar: 200 µm, SampleNo: 2098 |
| Fig 7: <i>Turborotalia increbescens</i>            | scale bar: 100 µm, SampleNo: 2130 |
| Fig 8: <i>Clavigerinella</i> sp.                   | scale bar: 100 µm, SampleNo: 2206 |
| Fig 9: <i>Pseudohastigerina naguewichiensis</i>    | scale bar: 200 µm, SampleNo: 2311 |
| Fig 10: <i>Hantkenina alabamensis</i>              | scale bar: 100 µm, SampleNo: 2203 |
| Fig 11: <i>Hantkenina</i> sp.                      | scale bar: 100 µm, SampleNo: 2251 |
| Fig 12: <i>Globigerinatheka index</i>              | scale bar: 100 µm, SampleNo: 2070 |

**Plate 1**

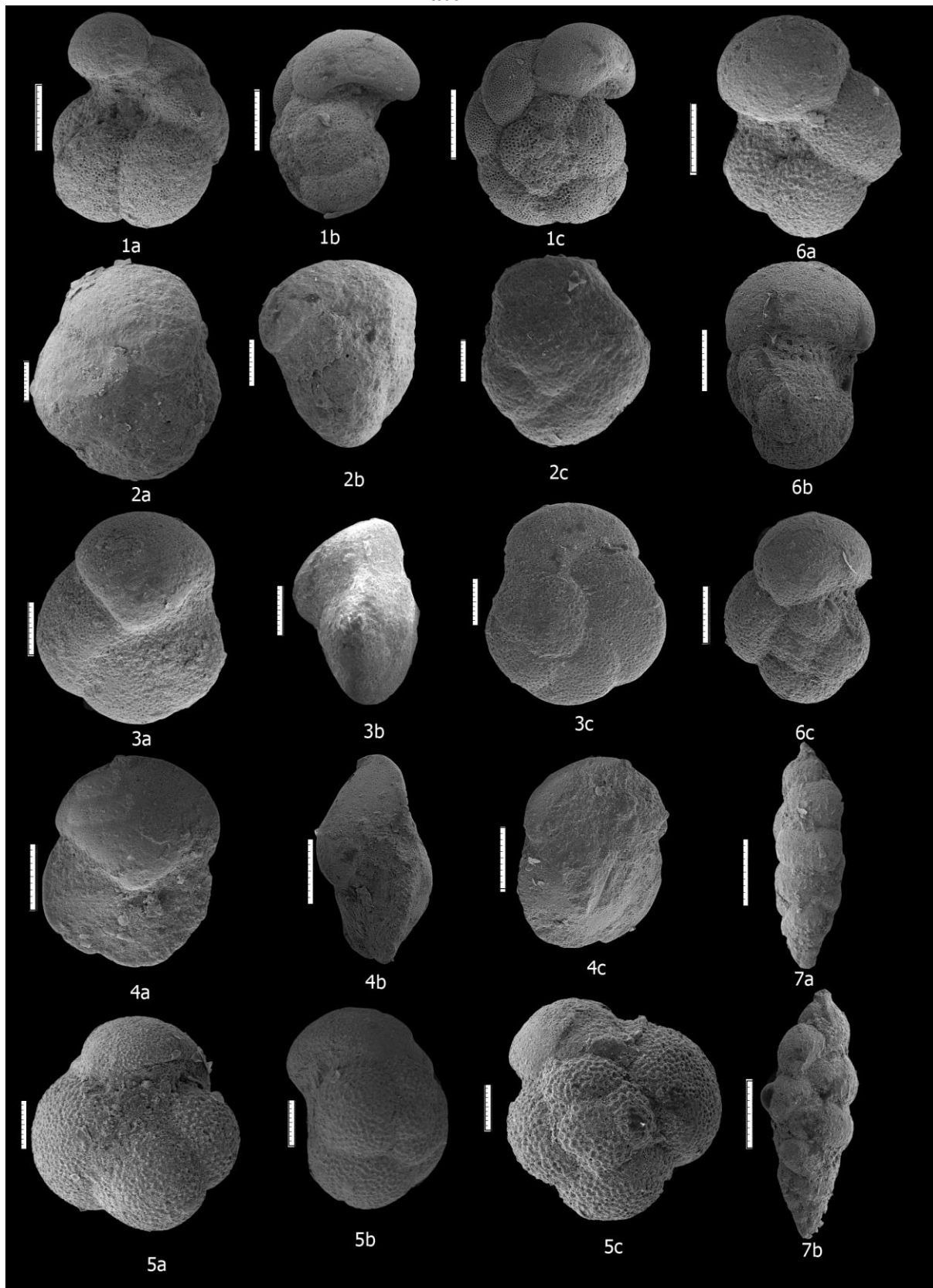
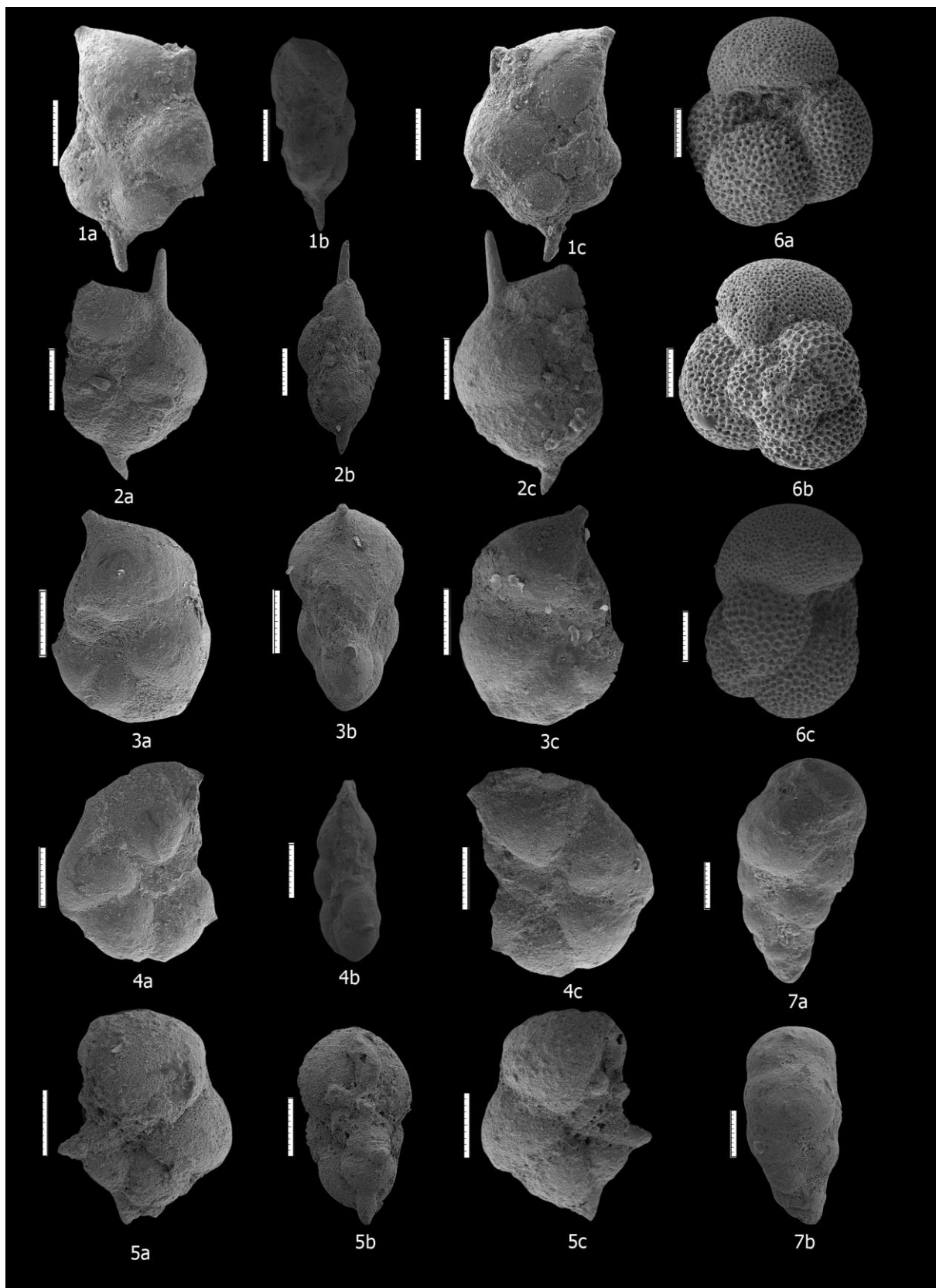


Plate 2



**Plate 3**

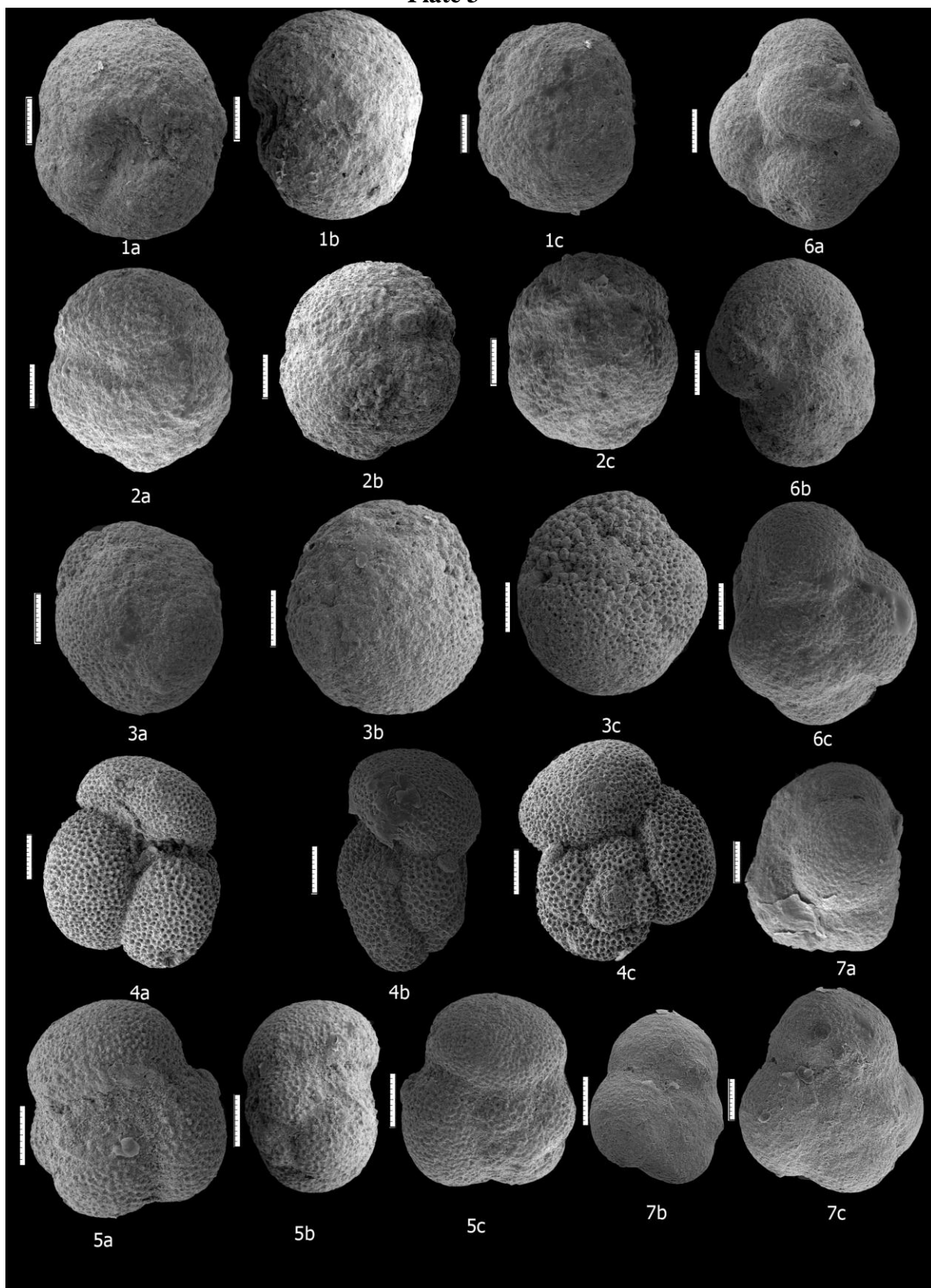


Plate 4

